

## 3. 土と構造物の相互作用

東大土木 石原研而

まえがき

地震動によって基盤が動くと、その波動は地表附近の軟弱層によって増幅されて地表面に達する。地表面上、又はその中に構造物の基礎が存在すると、こゝ波動はその影響を受けて更に変形され、従って、基礎体が存在する場合の地表面の振動は、それが無い場合の運動に比べて、かなり異なることとなる。土と構造物の相互作用はこのような振動の差異に支配され、地震時に基礎体に加わる力もこれによって決まるものと考えられる。さて、この振動の差異は、一般に、軟弱層の性格と基礎体の状況に応じて変わってくるものである。従りて、土と構造物の相互作用を調べるために、こゝ2つを振動要素を適切なモデルで表現することが必要となってくる。図1に示してあるのは、このために提案された2自由度の振動系である。軟弱層の土の重量を $m_F$ 、その変形特性をばね $K_F$ 、ダンピング $C_F$ で表わされている。全体のモデルは地盤系のものと基礎系のものを2つ直列に並べたものである。このモデルによって、耐震委員会で報告された研究内容を2つに分けると次のようになる。

- (1) 地盤系と基礎系の連成振動………2自由度系全体の振動挙動を对象としたものである。
- (2) 基礎系の振動挙動………地盤に対して基礎が相対的にいかなる応答を示すかを調べたもの。

以下、この順序でその内容の概要を述べて行くことにする。

I. 地盤系と基礎系の連成振動

地盤全体を振動させる実験は現位置では実行困難なので、振動台を用いた室内実験によって応答特性が調べられた。

## (i) 杣基礎の振動特性について。(久保慶三郎)

長さ10m、幅2m、深さ3mのモデル地盤をシンダー・サンドに絶縁油を混入した材料を用いて作った。その中に外径10cm、長さ3mの中空アルミ合金から成る杭9本を埋めて群杭基礎とした。最大4.5t/mのコンクリートブロックをこゝ上にのせ、全体を振動台として加振した。振動数を増えて行くと1.7cpsで杭基礎が共振を起こし、地盤に相対的に杭が激しく揺れるのが見られた。

この状態は図1のモデルで云うと、地盤系の固有振動数より基礎系のそれが小さく、後者に寄する共振が起つたことに相当する。次に振動数が1.2~1.3cpsになると、地盤自体が杭体に対して相対的に激しくゆれ、杭基礎に大きな応力を発起する状態が表れた。今度は地盤系の固有周期に加振周期が一致したために地盤の共振が生じたものであるが、この状態では杭の下部まで

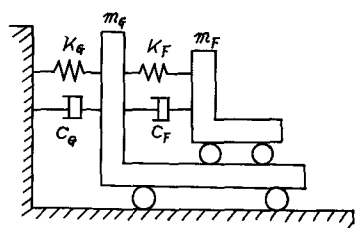


図1 地盤と基礎の振動モデル

大きな応力が生じうることが確認された。

#### (ii) 桁の附加質量について。（山下生比左）

$1.5 \times 1.5 \times 1.5\text{m}$  の振動箱の中に小石浜砂をつめ、巾 $10\text{cm}$ 、厚さ $1\text{cm}$ 、長さが $7, 15, 30\text{cm}$ の3種類のモデル杭を作製した。その上に $50\text{kg}$ の重量をのせ、杭頭からの加振試験と地盤全体をゆする振動台試験の両方を行い、杭の挙動を観察した。振動台実験において、加振振動数を小やかで行くと、 $7\text{cm}$ 長さの杭の場合、 $25\sim 35\text{cps}$ で地盤の共振があたり、引きつき $40\text{cps}$ 附近で杭体の共振が生じた。この方法でえた杭体の共振振動数は、杭頭からの加振試験により求められた値とは一一致することが確かめられた。以上の結果にもとづき、図1に示すようなモデルで“杭と地盤の振動挙動を説明できること”を提案している。以上、2つの研究結果より、今まで余り重視されなかつた地盤の共振の様様が或程度明らかにされ、これにより、土中の基礎の深部にいたるまで、大きな外力が加わりうることが指摘された。

## II. 基礎系の振動挙動

地盤上の基礎に起振機で強制振動を与えるときの加振力と変位を測定すれば、地盤と基礎の相互作用の特性を知るのに役立つ。これを図1で重さ $m_F$ に強制外力を加えることに相当するが、地盤系全体を加振することは不可能なので、もっぱら基礎系のみの応答特性がえらふことになる。この種の問題は地震とは無関係に、機械基礎の諸問題に関連して古くから研究されてきている。従って、この分野での理論的、実験的成果を学んで参考にすることは意義深いと考えられる。

#### (i) 半無限弾性地盤上の剛体基礎の振動について。（岩峰敏男）

半無限体上に置かれた基礎の上下、横、ロッキング振動について詳しい報告が行われた。こゝでは特にロッキング振動についての結果を、多少訂正して紹介し、後の考察に役立てたいと思う。半径 $r_0$ 、重さ $m_F$ の基礎が図2のように回転運動をしていくものとする。慣性モーメントを $I_0$ 、回転角を $\theta$ とすると、この運動は次のような自由度の振動方程式で表すことができる。

$$I_0 \frac{d^2\theta}{dt^2} + r_0^4 F_2' \sqrt{G\rho} \frac{d\theta}{dt} + G r_0^3 F_1' \theta = M e^{i\omega t} \quad \dots \dots (1)$$

ただし、 $G$ は地盤上の剛性率、 $\rho$ は土の単位容積質量、 $M$ は外カモーメント、 $\omega$ は角振動数である。 $F_1'$ ,  $F_2'$ は $\omega$ とボワソン比で決まる量である。この式で決まる振幅増大率を振動数に対してプロットしてみると図3のようになる。横軸には振動数によ

$$\alpha_0 = r_0 \omega \sqrt{\frac{\rho}{G}} \quad \dots \dots (2)$$

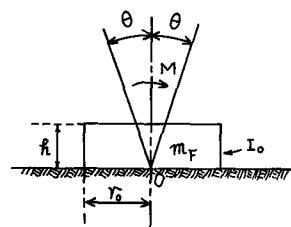


図2 基礎のロッキング振動

て定義された $\alpha_0$ なる量をとらんでグラフが描かれている。この量は土中の波の波長入を用いて、 $\alpha_0 = 2\pi r_0/\lambda$ と書きかえることができる。従って、 $\alpha_0$ は基礎の横寸法に比して波長が長くなるほど小さくなるような量であると理解しておくといい。一般に、 $\alpha_0$ はより小さいことが多い。次に、図中の $B_\theta$ は基礎体の形で決まり、

$$B_\theta = \frac{3(1-\nu)}{8} \frac{I_0}{\rho r_0^5} \quad \dots \dots (3)$$

で定義される。 $\nu$ はボワソン比である。今、図2のように高さが $r_0$ の円盤状基礎を考へ、接地面の中心

に衝する慣性モーメントを求めこみを(3)式に.

代入してやると,

$$B_\theta = \frac{3}{8} (1-\nu) \pi \frac{h}{r_0} \left( \frac{1}{4} + \frac{1}{3} \frac{h}{r_0} \right) \dots \dots (4)$$

がえられる。たゞし、基礎体材料の単位容積重量は土のそれに等しいとの仮定した。次に、基礎体の全表面積に対する土に接する部分の面積の比を  $S_c$  とすると、これを用ひて(4)式は、

$$B_\theta = \frac{1}{64} (1-\nu) \pi (S_c - 2)(2S_c - 1) \dots \dots (5)$$

のように書きかえられる。たゞし、 $S_c = 2 \frac{h}{B_\theta} + 2$  より、 $S_c$  は 2 より大きな値でなくてはならない。

(4), (5) 式より、 $B_\theta$  の物理的意味を次のようく解釈することができます。

a) 基礎体の高さ  $h$  に比して小さいほど  $B_\theta$  が小さく、その逆も又云える。

b) 基礎体の全表面積中、土に接している部分の面積の大きいほど  $B_\theta$  が小さく、その逆も又云える。

以上の考察により、 $B_\theta$  は基礎体の形状又は接地状態によって一意的に決まるものであることがわかった。さて、其振度の固有振動数に相当する  $\alpha_n$  の値を  $\alpha_s$  とおくと、これは(1)式と(2)式より、

$$\alpha_n^2 = \frac{3(1-\nu)}{8} \frac{F_i'}{B_\theta} \dots \dots \dots (6)$$

である。 $F_i'$  は  $\alpha_n$  の函数であるので(6)式を解くことにより、 $\alpha_n$  は  $B_\theta$  の函数として一意的に決めることができる。図3から明かなるように  $B_\theta$  が増すと  $\alpha_n$  が小さくなると其振度の固有振動数は増大する。次に減衰について考えてみよう。これは(1)式からわかるように振動数の函数であるので、特に其振度の減衰に着目してみると、これも  $B_\theta$  のみの函数として表わしうることが示される。図3からも推察できるように、 $B_\theta$  が大きいほど減衰率が大きくなることがわかる。以上の考察より、固有振動数に關係した  $\alpha_n$  と、減衰率も共に  $B_\theta$  の値によって決まってしまうことがわかった。次に附加質量について考えてみよう。

地盤に静的モーメントを加えることによってえられるパネ常数  $k_\theta$  は次式によつて与えられる。

$$k_\theta = \frac{8G Y_0^3}{3(1-\nu)} \dots \dots \dots (7)$$

これと慣性モーメントから求められた固有振動数を  $\omega_s$  とすると、明らかに  $\omega_s^2 = k_\theta / I$  である。

(2)式の  $\omega$  の代りに  $\omega_s$  を代入した量を  $\alpha_s$  として、固有振動数を表わす(6)式を変形すると、次式がえられ

$$\alpha_n^2 / \alpha_s^2 = \frac{3(1-\nu)}{8} F_i' \dots \dots \dots (8)$$

$F_i'$  は  $\alpha_n$  の函数なので、(8)式を一般的に解くのはむずかしいが、 $\nu=0$  の場合には近似的に次のようににな

$$\alpha_n^2 / \alpha_s^2 = 1 - 0.048 \alpha_s \dots \dots \dots (9)$$

この式より、実際の固有振動数は、静的スプリングを形式的に用ひて求めた固有振動数より小さくな

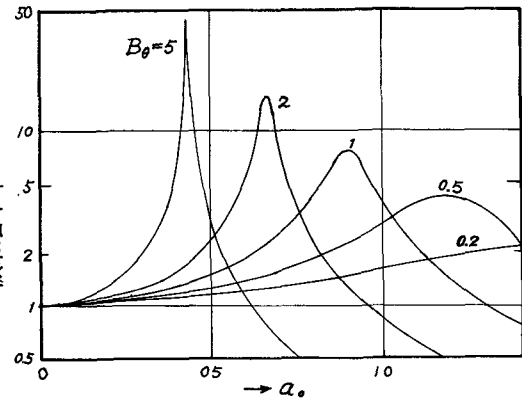


図3 半無限弾性体上の剛体のロッキング振動に関する振幅増大率

ることがわかる。しかも、その差は  $\alpha_s$  が大きい程著しいことが知れる。これが、理論的に導かれた附加質量の効果である。以上のように、この効果は共振振動数が大きいほど著しいが、この時は、前述のように減衰も大きくなつて、共振曲線が平坦になる場合である。つまり、実際上、共振による悪影響が問題にならない時で、しかも共振振動数を正確に求めにくいう場合に附加質量の影響が大きく、共振が明確に表わされた場合には、附加質量が小さい、ということになるのである。この結論は、半無限体上の剛体基礎に限らず、以下に述べた杭等の深基礎に対する、定性的なことはまことに考へられた。

#### (ii) 杭基礎の振動特性について。（久保慶三郎）

概要はすでに述べたので省略することにして、1.7 cps で杭基礎が共振を起した時の摸様をみてみる。静的載荷試験によつて、杭の横方向バネ常数を求め、これによつて固有振動数を計算してみたら、実測値と比較的よく一致した。杭頭に仮想をのせた方式の振動試験では、仮想の重心が地上にあり、 $B_0$  の値が大きく、固有振動数も小さいために、附加質量の値が小さく、計算値と実測値が一致したと考へられた。

#### (iii) 杭の附加質量について。（山下生比古）

杭頭で加振した実験（前述）によると、杭体で測定した歪が  $3 \times 10^{-4}$  以下では附加質量を考慮しないと実測値と計算値（静的バネによると）が一致しないが、これ以上の大きな歪では両者の値がよく合ふことが判明した。歪が小さいと、杭体は地盤土に密着して振動するから  $B_0$  の値が小さく、減衰の値が大きくなる。従つて附加質量を考慮する必要が生じたものと思えた。歪が大きいと、杭と土の間のスキン効果が生じて、接觸面積が広り、事实上、 $B_0$  の増加をもたらす。従つて、附加質量が減つて、共振振動数に關する理論値と実測値が一致したものと考へられる。

#### (iv) 動地盤反力係数。（野口俊郎）

関東ローム地盤上に設置した重さ  $3 \sim 14$  ton のコンクリートブロックに起振機で強制振動を与えて各種の測定を行つた。 $B_0$  の値が 1.6, 0.3, 0.15 の 3 種類の基礎で、ロッキング振動時の附加質量は、この順序で大きくなることが示された。又、上下、ロッキング振動の共振振動数より求めた、水平方向と上下方向のバネ常数の比は 0.5 ～ 0.6 の範囲にあることが判明した。

#### (v) 杭の附加質量についての一つの試み。（佐藤暢考）

杭と地盤とも水平なスラッシュの重なりと考へ、その一つを取出して、2 次元的弾性変形をすると後走した。杭に適当な質量を与えて、スラッシュの固有周期を有限要素法によつて求めた。一方、静的計算で求めたバネ常数を用い、動的固有周期に一致すべく附加質量を計算した。その他、2 種類の後走によつて附加質量を求めたが、計算の領域の広がりと共にこれが増加し、一定の結果に達しなかつた。

### 主 題

以上、附加質量について、定量的にのべてきたが、理論的にも実験的にも、これは実験に用いた基礎の形状や接地状態によって変わつようである。特來、この点をもっと研究すべきだと思ふ。

### 参 考 文 献

- (1) 久保慶三郎・佐藤暢考、"杭基礎をもつ構造物の耐震性", 生産研究, 20巻 4号 (1968)
- (2) I. Yamashita, T. Inatomi, "Virtual Mass of Laterally Loaded Piles", Proc. 3rd J.N.S.E.E.
- (3) 野口俊郎他 "関東ローム動的地盤反力係数測定について", 第5回土質工学研究発表会。